

เทคนิคการติดตั้งสายเทอร์โมคับเบลที่ผิวนังของเครื่องอบแห้งแบบพ่นฟอยที่มีต่ออุณหภูมิการเกาเตติด

Thermocouple installation technique on deposition temperature in surface area of spray dryer chamber

เชร์ดง เชี่ยวชาญวัฒนา¹ และ กิตติชัย ไตรรัตนศิริชัย¹
Cherdpong Chiawchanwattana¹ and Kittichai Triratanasirichai¹

Abstract

Deposition of final products on surface of drying compartment is a major problem of a spray drying process. Deposition of the product is mainly dependent of surface wall temperature. The objective of this research was to study thermocouple installation technique to measure surface temperature on deposition of product in spray drying chamber. Salt solution was used in the experiment and tall-form spray dryer consists of top portion cylindrical and bottom portion conical used with two-fluid nozzle. The experiment consists of four factors; two installation methods, four installation positions, three hot air flow rates 0.0649, 0.0730 and 0.0811 cubic metre per second and three hot air temperatures 150, 170 and 190 degrees Celsius. The results showed that salt powder deposited only on the conical wall surface and cylindrical wall did not occur so that two installation methods of cylindrical surface area have been affected with deposition temperature were significantly statistical difference. Temperature difference decrease less than 0.82 % for cylindrical portion and 0.20 % for conical portion. Deposition temperature in bottom conical surface area was not significantly statistical difference in each of drying conditions. In the future work, thermocouple installation technique can be applied to evaluate the relationship between deposition temperature and deposition rate in spray drying process.

Keywords: thermocouple, deposition temperature, spray dryer

บทคัดย่อ

การเกาเตติดที่ผิวนังของผลิตภัณฑ์ที่ได้จากการอบแห้งของเครื่องอบแห้งแบบพ่นฟอยเป็นปัญหาหลักที่สำคัญ โดยมีปัจจัยหนึ่งที่เกี่ยวข้องคืออุณหภูมิในการเกาเตติด ดังนั้นงานวิจัยนี้จึงมีวัตถุประสงค์เพื่อศึกษาผลของการติดตั้งสายเทอร์โมคับเบลที่ผิวนังห้องอบแห้งที่มีต่ออุณหภูมิในการเกาเตติด ของเครื่องอบแห้งแบบพ่นฟอย โดยใช้สารละลายน้ำเกลือ เป็นวัตถุดิบในการทดสอบ เครื่องอบแห้งแบบพ่นฟอยที่ใช้เป็นแบบทรงสูง ประกอบด้วยห้องอบทรงกระบอกในส่วนบน และทรงกรวยในส่วนล่างตลอดแนวเดียวกัน หัวฉีดที่ใช้เป็นแบบสองของไอล ซึ่งมีปัจจัยในการทดสอบประกอบด้วย วิธีการติดตั้ง 2 วิธี ระดับความสูงในการติดตั้ง 4 ระดับ อัตราการไอล/mol ร้อน 3 ระดับคือ 0.0649 0.0730 และ 0.0811 ลูกบาศก์เมตรต่อวินาที และอุณหภูมิลมร้อน 3 ระดับคือ 150 170 และ 190 องศาเซลเซียส ผลการทดสอบพบว่า เกลือผงจะเกิดการเกาเตติดตามผนัง เป็นชั้นความหนาในพื้นผิวห้องอบทรงกรวย โดยพื้นผิวทรงกระบอกไม่เกิดการเกาเตติด ซึ่งมีผลทำให้อุณหภูมิในการเกาเตติดที่ผิวนังของห้องอบทรงกระบอกทั้ง 2 วิธีการติดตั้ง มีความแตกต่างกันทางสถิติ โดยค่าความแตกต่างของอุณหภูมิลดลงคงที่ จากระดับการติดตั้งส่วนบนต่ำกว่า 0.82 เปรอร์เซ็นต์ของช่วงอุณหภูมิการวัด สำหรับในส่วนของอุณหภูมิในการเกาเตติดที่ผิวนัง ของห้องอบแห้งทรงกรวยมีค่าความแตกต่างของอุณหภูมิลดลงคงที่ต่ำกว่า 0.20 เปรอร์เซ็นต์ของช่วงอุณหภูมิการวัด และไม่มีความแตกต่างกันทางสถิติในระดับการติดตั้งส่วนล่างสุด ในแต่ละสภาพการอบแห้งของการทำทดสอบ ซึ่งเทคนิคการติดตั้งสายเทอร์โมคับเบลที่ผิวนังห้องอบแห้งนี้สามารถนำไปใช้ในการพิจารณาหากความสัมพันธ์ระหว่างอุณหภูมิการเกาเตติด และอัตราการเกาเตติดที่เกิดขึ้นได้

คำสำคัญ: เทอร์โมคับเบล อุณหภูมิการเกาเตติด เครื่องอบแห้งแบบพ่นฟอย

คำนำ

การอบแห้งเป็นขั้นตอนที่สำคัญมากขั้นตอนหนึ่งที่ส่งผลโดยตรงต่อคุณภาพของผลิตภัณฑ์ และเป็นกระบวนการการอีก แนวทางหนึ่งที่สามารถเพิ่มมูลค่า และพัฒนาผลิตภัณฑ์รูปแบบใหม่ให้เกิดขึ้น โดยในสภาวะปัจจุบันที่มีการแข่งขันในการ

¹ ภาควิชาวิศวกรรมเครื่องกล คณะวิศวกรรมศาสตร์ มหาวิทยาลัยขอนแก่น ขอนแก่น 40002

¹ Department of Mechanical Engineering, Faculty of Engineering , Khon Kaen University, Khon Kaen, 40002

พัฒนาผลิตภัณฑ์ของรูปแบบต่างๆ โดยเฉพาะอย่างยิ่งการใช้กรวยวิธีการอบแห้งแบบพ่นฝอยเกิด ตัวอย่างเช่น อาหาร เครื่องดื่ม ผลิตภัณฑ์ผักและผลไม้ ยาและเวชภัณฑ์ทางการแพทย์ ดังนั้นทำให้การแปรรูปโดยวิธีการอบแห้งแบบพ่นฝอยเข้ามีบทบาทสำคัญต่อการแปรรูปวัตถุดิน โดยเฉพาะผลิตผลทางการเกษตรซึ่งเป็นวัตถุดินหลักของประเทศไทย เพื่อเพิ่มมูลค่าทางด้านเศรษฐกิจให้กับผลิตผลทางการเกษตร รวมถึงระบบการขนส่งที่สามารถลดน้ำหนักการบรรจุ และการจัดการในระบบโลจิสติกส์ที่สะดวกขึ้นด้วย (วัสดุ, 2546; คณะเทคโนโลยีการเกษตร, 2551; อภิชาต, 2552)

เครื่องอบแห้งแบบพ่นฝอยที่มีใช้อยู่ในอุตสาหกรรมการผลิตส่วนใหญ่พบกับปัญหาการเกิดการเกาะติดของอนุภาคภายในห้องอบแห้ง สงผลให้มีปริมาณการสะสมเพิ่มมากขึ้นจนกระทั่งเครื่องอบแห้งไม่สามารถทำงานต่อไปได้ ทำให้ต้องหยุดกระบวนการผลิตเพื่อนำอนุภาคที่เกาะติดออก (Hassall, 2006; Kota and Langrish, 2007) และจากการศึกษาของ Beever (2007) พบว่า การเกิดการเกาะติดและสะสมของอนุภาคที่แผ่นของเครื่องอบแห้งแบบพ่นฝอยสำหรับกระบวนการผลิตนมผง สามารถทำให้เกิดไฟลุกใหม่และการระเบิดของอนุภาคที่อุณหภูมิสูงได้

ดังนั้น การศึกษาในครั้งนี้จึงได้ทำการศึกษาเทคนิคการติดตั้งสายเทอร์โมคัปเบิลที่ผิวน้ำแข็งของเครื่องอบแห้งแบบพ่นฝอยที่มีต่ออุณหภูมิการเกาะติด เพื่อใช้ในการอธิบายพฤติกรรมการเกาะติดที่เกิดขึ้นภายใต้ผิวน้ำแข็งห้องอบแห้งได้

อุปกรณ์และวิธีการ

ชุดทดสอบที่ใช้ในการศึกษารังนี้ ประกอบด้วย ห้องอบแห้ง (Drying chamber) ชุดทำความร้อน (Heating unit) ชุดควบคุมอุณหภูมิ (Temperature controller) ชุดปรับความตันหัวฉีด (Nozzle pressure regulator) และหัวฉีดแบบสองของไอล (Two-fluid nozzle) ดังแสดงตาม Figure 1

ปัจจัยที่ใช้ในการทดสอบการทำงานของเครื่องอบแห้งแบบพ่นฝอย ประกอบด้วยวิธีการติดตั้งเทอร์โมคัปเบิล 2 รูปแบบคือ ติดอุ่มเนียมเทปที่ปลายสายเทอร์โมคัปเบิลและไม่ติดอุ่มเนียมเทป ระดับความสูงในการติดตั้ง 4 ระดับ อัตราการไอล/mol ร้อน 3 ระดับคือ 0.0649 0.0730 และ 0.0811 ลูกบาศก์เมตรต่อวินาที และอุณหภูมิลมร้อน 3 ระดับคือ 150 170 และ 190 องศาเซลเซียส สำหรับการบันทึกข้อมูลอุณหภูมิ ใช้เครื่องบันทึกข้อมูลอัตโนมัติ (Data Logger) ยี่ห้อ HIOKI รุ่น 8422-51 MEMORY HiLOGGER ทำการบันทึกการเปลี่ยนแปลงของอุณหภูมิทุก 5 วินาที ใช้สายเทอร์โมคัปเบิล Type-T เส้นผ่านศูนย์กลางของหัวฉีดที่ใช้เท่ากับ 0.9 มิลลิเมตร การทดสอบได้ใช้วัตถุดินทดสอบคือ น้ำเกลืออรวมชาติสำหรับผลิตเกลือสินเคอร์ จากคำแนะนำดัง จันหวัดอุดรธานี ซึ่งมีความถ่วงจำเพาะของน้ำเกลือเท่ากับ 21.3 นูเม'

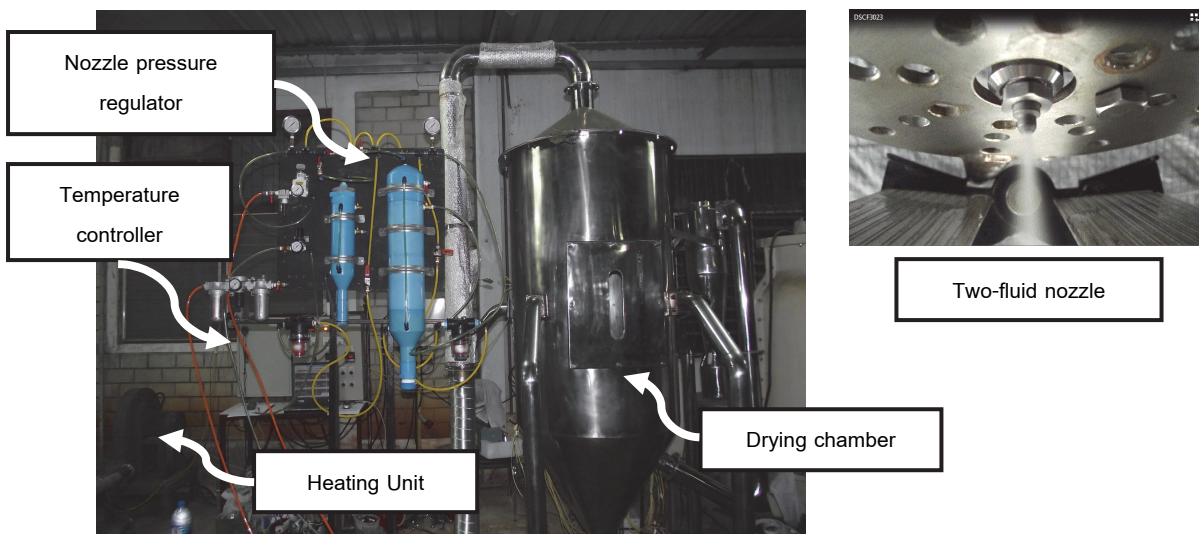


Figure 1 Shows the components of spray drying unit.

วิธีการติดตั้งสายเทอร์โมคัปเบิล
โดยทำการติดตั้งเทอร์โมคัปเบิลไว้ภายในห้องอบลดความสูงของเครื่องอบแห้งแบบพ่นฝอยชนิดทรงสูง โดยแบ่งออกเป็นห้องอบทรงกระบอกในส่วนบน และทรงกระบอกในส่วนล่าง จำนวนส่วนละ 4 ระดับ (Figure 3) และแบ่งวิธีการติดตั้งออกเป็น 2 รูปแบบคือ ติดแผ่นอุ่มเนียมเทปไว้ที่ปลายสาย และไม่ติดแผ่นอุ่มเนียมเทปที่ปลายสายเทอร์โมคัปเบิล ดังแสดงตาม Figure 2

โดยทำการติดตั้งเทอร์โมคัปเบิลไว้ภายในห้องอบลดความสูงของเครื่องอบแห้งแบบพ่นฝอยชนิดทรงสูง โดยแบ่งออกเป็นห้องอบทรงกระบอกในส่วนบน และทรงกระบอกในส่วนล่าง จำนวนส่วนละ 4 ระดับ (Figure 3) และแบ่งวิธีการติดตั้งออกเป็น 2 รูปแบบคือ ติดแผ่นอุ่มเนียมเทปไว้ที่ปลายสาย และไม่ติดแผ่นอุ่มเนียมเทปที่ปลายสายเทอร์โมคัปเบิล ดังแสดงตาม Figure 2

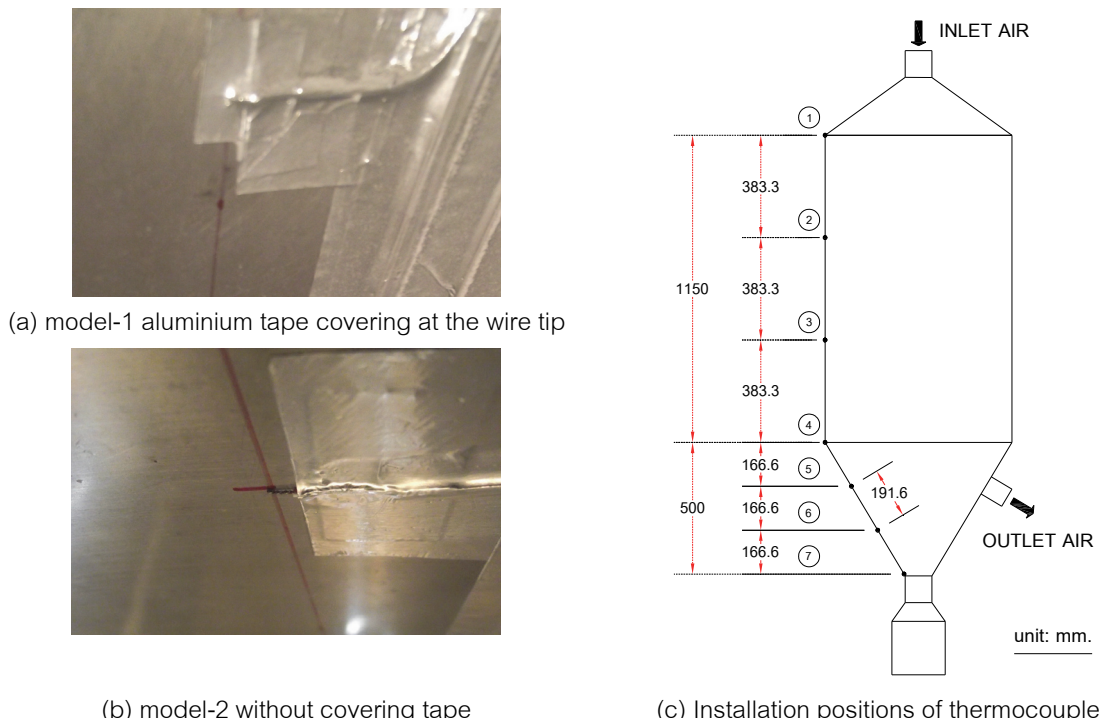


Figure 2 Shows an installation of thermocouple wire on surface of the drying chamber.

ผล

จากการทดสอบพ่นละอองน้ำเกลือภายในห้องอบแห้งของเครื่องอบแห้งแบบพ่นฝอยเพื่อศึกษาผลของรูปแบบการติดตั้งสายเทอร์โมคัปเปิลที่ผิวนังห้องอบแห้งทรงกระบอกและทรงกรวยที่มีต่อคุณภาพการเกาะติดที่ทำการศึกษา พบว่า เกลือผงที่ได้จากการพ่นละอองน้ำเกลือมีการเกาะติดตามผนังเป็นชั้นความหนาในพื้นผิวห้องอบทรงกรวย โดยพื้นผิวทรงกระบอกไม่เกิดการเกาะติด ดังแสดงตาม Figure 3 โดยมีคุณภาพของผิวนังที่ได้จากการติดตั้งทุกเงื่อนไขการทดสอบ ซึ่งสามารถจำแนกช่วงคุณภาพของผิวนังได้ 3 ช่วงคือ ช่วงการให้ความร้อนเริ่มต้นเพื่อเตรียมปรับสภาพห้องอบแห้ง ช่วงการฉีดน้ำเปล่าเพื่อทำให้ห้องอบแห้งเกิดสภาพวงตัว และช่วงการพ่นละอองน้ำเกลือเพื่อทำการทดสอบ ภายหลังจากนำข้อมูลผลการวัดคุณภาพที่ได้จากการพ่นละอองน้ำเกลือมาทำการวิเคราะห์ทางสถิติเพื่อเปรียบเทียบรูปแบบการติดตั้ง พบว่า รูปแบบการติดตั้งสายเทอร์โมคัปเปิลภายในห้องอบแห้งทั้ง 2 รูปแบบมีความแตกต่างกันทางสถิติ โดยค่าความแตกต่างของคุณภาพลดลงคงที่ จากการดับการติดตั้งตำแหน่งที่ 1 มีค่าน้อยกว่า 0.82 เปอร์เซ็นต์ของช่วงคุณภาพมิลลิเมตร และสำหรับในส่วนของคุณภาพในการเกาะติดที่ผิวนังของห้องอบแห้งทรงกรวย มีค่าความแตกต่างของคุณภาพลดลงคงที่ จากการดับการติดตั้งตำแหน่งที่ 4 มีค่าน้อยกว่า 0.20 เปอร์เซ็นต์ของช่วงคุณภาพมิลลิเมตร และไม่มีความแตกต่างกันทางสถิติในระดับการติดตั้งตำแหน่งที่ 7 และในแต่ละสภาพการอบแห้งมีแนวโน้มลดลงของการทดสอบไปในทิศทางเดียวกัน

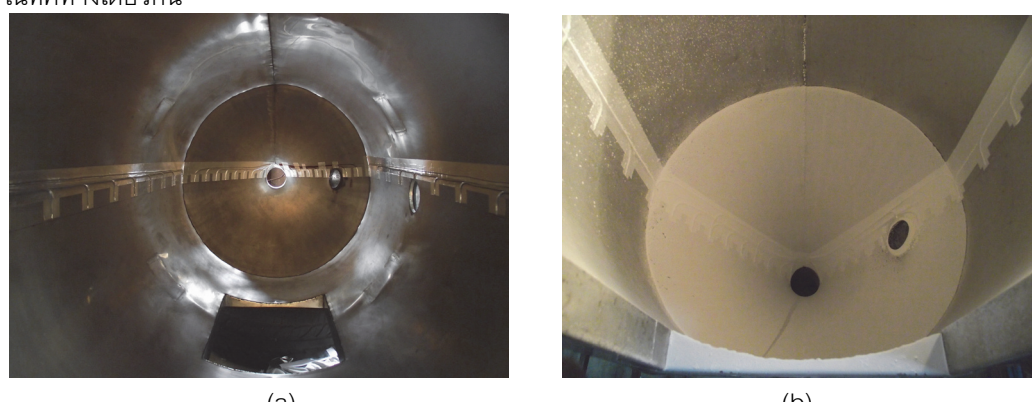


Figure 3 Installation positions of thermocouple (a) and deposition of salt powder on surface of conical portion (b).

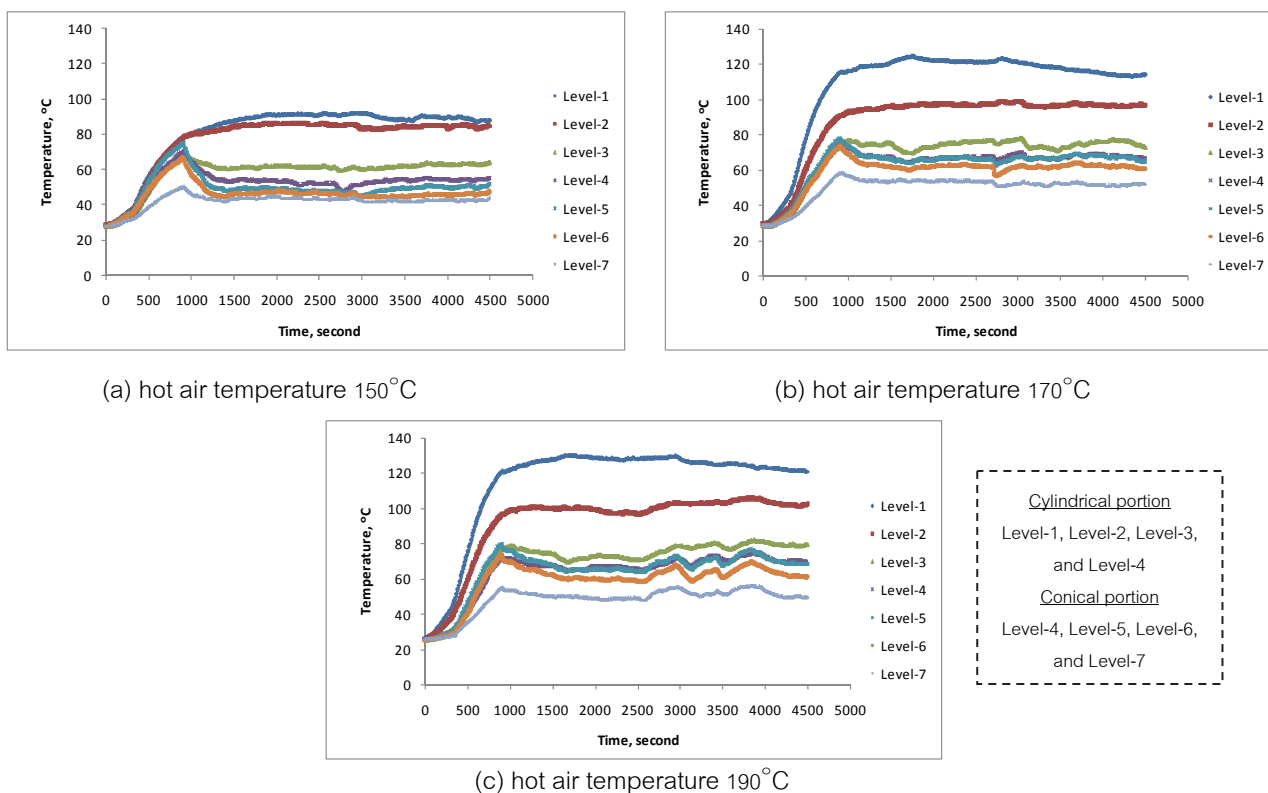


Figure 4 Deposition temperature of cylindrical and conical portion at various drying temperature.

วิจารณ์ผล

จากการทดลองดูรูปแบบการติดตั้งสายเทอร์โมคัปเพลที่ผิวน้ำเงาในห้องอบแห้งของเครื่องอบแห้งแบบพ่นฝอยทั้ง 2 รูปแบบ มีผลทำให้เกิดความแตกต่างของอุณหภูมิที่วัดได้ โดยมีแนวโน้มความแตกต่างลดลงจากระดับการติดตั้งส่วนบนเป็น ผลลัพธ์เนื่องมาจากการหมุนวนของอากาศภายในห้องอบแห้ง และจะเกิดขึ้นมากในบริเวณใกล้เคียงท่อทางออก ส่งผล ให้ตำแหน่งติดตั้งส่วนล่างสุด ไม่มีความแตกต่างกันทางสถิติของอุณหภูมิที่วัดได้

สรุป

รูปแบบการติดตั้งสายเทอร์โมคัปเพลที่ผิวน้ำเงาในห้องอบแห้งของเครื่องอบแห้งแบบพ่นฝอย โดยการติดอุณหภูมิเนี่ยมเป็นไปตามที่คาดการณ์ไว้ ในการวัดอุณหภูมิภายในห้องอบได้ โดยมีค่าความแตกต่างของอุณหภูมิที่วัดได้ ค่อนข้างต่ำเมื่อเปรียบเทียบกับช่วงอุณหภูมิในการวัด ซึ่งมีค่าลดลงคงที่ต่ำกว่า 0.20 เปอร์เซ็นต์ของช่วงอุณหภูมิการวัด สำหรับ ในส่วนของอุณหภูมิในการเก่าติดที่ผิวน้ำเงาของห้องอบแห้งทรงกรวยในสภาวะที่มีการเก่าติดของผลิตภัณฑ์

เอกสารอ้างอิง

- คณะเทคโนโลยีการเกษตร. 2551. การฝึกอบรมเทคโนโลยีการติดตั้งแบบพ่นฝอยระดับอุตสาหกรรม (Spray Drying Technology). เอกสารประกอบการฝึกอบรม, 4 กันยายน 2551, สาขาวิชาเทคโนโลยีอุตสาหกรรมเกษตร มหาวิทยาลัยเทคโนโลยีราชมงคลล้านนา ปทุมธานี.
วสันต์ ตัวคำจันทร์. 2546. ปัจจัยในการทำงานที่สำคัญสำหรับการออกแบบเครื่องอบแห้งแบบพ่นฝอย: กรณีศึกษากระเจี๊ยบผง. วิทยานิพนธ์ ปริญญาโท ภาควิชากรรมศาสตร์อาหาร สถาบันเทคโนโลยีราชมงคลเชียงใหม่.
อภิชาต พึงน้อย. 2552. Drying technology for spices & seasoning: Spray drying Process [บทสัมภาษณ์]. ผู้จัดการ บริษัท GEA Process Engineering (S.E.A.) Pte. Ltd. ประเทศไทย.
Beever P. F. 2007. Fire and explosion hazards in the spray drying of milk. International Journal of Food Science & Technology 20(5): 637-645.
Hassall G. J. 2006. Wall build-up in spray drying processes. [Online]. Available source: <http://www.eng.bham.ac.uk/chemical/study/postgrad/2006>. (2009 Aug 25).
Kota K., and T.A.G. Langrish. 2007. Prediction of wall deposition behaviour in a pilot-scale spray dryer using deposition correlations for pipe flows. Journal of Zhejiang University SCIENCE A 8(2): 301-312.